1 物理定数表

1.1 基礎定数

| 真空中の光速 † | c | $2.997 924 58 \times 10^8 \text{ m s}^{-1} \text{ (SI)}$ |
|---------------------|---|--|
| 単位電荷† | $e = q_e / \sqrt{4\pi\epsilon_0}$ | $4.80 \times 10^{-10} \text{ esu (CGS)}$ |
| | $q_e = e\sqrt{4\pi\epsilon_0}$ | $1.602\ 176\ 634 \times 10^{-19}\ \mathrm{C}\ \mathrm{(SI)}$ |
| | $\left[e^2\right] = \left[\left(q_e/4\pi\epsilon_0\right)^2\right]$ | $\left[\mathrm{ML^{3}T^{-2}}\right]$ |
| 真空の誘電率 | $\epsilon_0 = (1/4\pi c^2) \times 10^{7}$ | $8.85 \times 10^{-12} \text{ Fm}^{-1} \text{ (SI)}$ |
| | $1/4\pi\epsilon_0 = c^2 \times 10^{-7}$ | $8.99 \times 10^9 \text{ kg m}^3 \text{ s}^{-2} \text{ C}^{-2} \text{ (SI)}$ |
| | $q_e^2/4\pi\epsilon_0$ | $2.31 \times 10^{-28} \text{ kg m}^3 \text{ s}^{-2} \text{ (SI)}$ |
| 真空の透磁率 | $\mu_0 = 4\pi \times 10^{-7}$ | $1.26 \times 10^{-6} \; \mathrm{Hm}^{-1} \; (\mathrm{SI})$ |
| プランク定数 [†] | h | $6.626\ 070\ 15 \times 10^{-34}\ \mathrm{J\ s} = 4.14 \times 10^{-15}\ \mathrm{eV\ s}$ |
| | $\hbar = h/2\pi$ | $1.05 \times 10^{-27} \text{ erg s} = 6.58 \times 10^{-16} \text{ eVs}$ |
| | [h] | $[\mathrm{ML}^2\mathrm{T}^{-1}]$ |
| 重力定数 | G | $6.67 \times 10^{-8} \text{ dyn cm}^2 \text{ g}^{-2}$ |
| | [G] | $[M^{-1}L^3T^{-2}]$ |
| 微細構造定数 | $\alpha_{\rm e} = e^2/\hbar c({\rm CGS}) = q_e^2/4\pi\epsilon_0\hbar c({\rm SI})$ | $1/(1.37 \times 10^2) = 7.30 \times 10^{-3}$ |
| 重力微細構造定数 | $\alpha_{\rm g} = G m_{\rm p}^2 / \hbar c$ | 5.90×10^{-39} |
| アボガドロ数 [†] | $N_{ m A}$ | $6.022\ 140\ 76 \times 10^{23}\ \mathrm{mol^{-1}}$ |
| ボルツマン定数 † | k | $1.380~649 \times 10^{-23}~\mathrm{J~K^{-1}} = 8.62 \times 10^{-5}~\mathrm{eV~K^{-1}}$ |
| ボーア磁子 | $\mu_{ m B} = e\hbar/2m_{ m e}$ | $9.27 \times 10^{-21} \text{ gauss cm}^3$ |
| (4. 2010 年からの年で | I 単島をなった I N 1.以下連かさのおいた | 2 差估レレア人にも主ニ るれNMM#七州粉ウ9歩云主訂) |

(†: 2019 年からの新 SI 単位系で $c, q_{\rm e}, h, N_{\rm A}, k$ は不確かさのない定義値として全桁を表示。それ以外は有効数字 2 桁で表記。)

1.2 長さと面積

| | cm | pc | light year | AU |
|--|-----------------------|------------------------|------------------------|------------------------|
| cm | 1 | 3.24×10^{-19} | 1.06×10^{-18} | 6.69×10^{-14} |
| $\operatorname{pc}\left(\mathcal{N}-	ext{$	ext{t}}-	ext{$	ext{t}} ight)$ | 3.09×10^{18} | 1 | 3.26 | 2.06×10^{5} |
| light year (光年) | 9.46×10^{17} | 0.307 | 1 | 6.32×10^{4} |
| AU (天文単位) | 1.50×10^{13} | 4.85×10^{-6} | 1.58×10^{-5} | 1 |

| 電子のコンプトン波長 陽子のコンプトン波長 古典電子半径 ボーア半径 リュードベリ定数 1 keV の光子の波長 ラーモア半径 | $\lambda_{\rm e} = h/m_{\rm e}c$ $\lambda_{\rm p} = h/m_{\rm p}c$ $r_e = e^2/m_ec^2$ $a_0 = \hbar^2/m_ee^2$ $R_{\infty} = 2\pi^2 m_{\rm e}e^4/ch^3$ $hc/1{\rm keV}$ $r_q = p_{\perp}/qB$ | $2.43 \times 10^{-10} \text{ cm}$ $1.32 \times 10^{-13} \text{ cm}$ $2.82 \times 10^{-13} \text{ cm}$ $0.529 \times 10^{-8} \text{ cm}$ $1.10 \times 10^5 \text{ cm}^{-1}$ $12.4 \times 10^{-8} \text{ cm}$ $3.3 \times 10^2 (\gamma mc^2/\text{GeV})(v)$ | $(\lambda_e/2\pi = 3.84 \times 10^{-11} \text{ cm})$ $(\lambda_p/2\pi = 2.10 \times 10^{-14} \text{ cm})$ $(\pi a_0^2 = 0.880 \times 10^{-16} \text{ cm}^2)$ = 12.4 Å $_{\perp}/c)(q/e)^{-1}(B/T)^{-1} \text{ cm}$ |
|---|--|---|---|
| 地球半径 太陽半径 シュバルツシルト半径 銀河系中心から太陽の距離 | R_{\oplus} R_{\odot} $R_{ m s}=2GM/c^2$ | $6.38 \times 10^{8} \text{ cm}$ $6.96 \times 10^{10} \text{ cm}$ $2.95 \times 10^{5} (M/M_{\odot}) \text{ cm}$ $\sim 10 \text{ kpc}$ | $(4\pi R_{\odot}^2 = 5.11 \times 10^{18} \text{ cm}^2)$ $(4\pi R_{\odot}^2 = 6.09 \times 10^{22} \text{ cm}^2)$ $\sim 3 \text{ km}$ (c.f., IAU 8.5 kpc) |
| 銀河系の直径 銀河団の平均直径 プランク長 トムソン散乱断面積 バーン (barn, 反応断面積) | $(G\hbar/c^3)^{1/2}$ $\sigma_{\rm T} = 8\pi r_{\rm e}^2/3$ b | $\sim 25 \text{ kpc}$ $\sim 3 \text{ Mpc}$ $1.62 \times 10^{-33} \text{ cm}$ $6.65 \times 10^{-25} \text{ cm}^2$ $10^{-24} \text{ cm}^2 = 10^{-28} \text{ m}^2$ | |

1.3 時間

| 1ユリウス年 | | 365.25 days (SI day) = 31,557,600 s |
|--------|----------------------|--|
| 1 日 | | 24 h = 1,440 min = 86,400 s |
| 光の伝搬時間 | | 3.33(r/1 m) ns = 500(r/1 AU) s |
| ハッブル時間 | $1/H_0$ | $9.8 \times 10^9 h^{-1} \text{ year} = 3.09 \times 10^{17} h^{-1} \text{ s}$ (宇宙年齢の目安) |
| 宇宙年齢 | | 138 億年 [Planck Collaboration A&A (2016), Table 4] |
| プランク時間 | $(G\hbar/c^5)^{1/2}$ | $5.39 \times 10^{-44} \text{ s}$ |

1.4 質量とエネルギー

| 電子の質量 | $m_{ m e}$ | $9.11 \times 10^{-28} \text{ g}$ | 電子の静止質量エネルギー | $m_{ m e}c^2$ | $0.511~{ m MeV}$ |
|---------|--------------|-----------------------------------|--|------------------------------------|--------------------|
| 陽子の質量 | $m_{ m p}$ | $1.67 \times 10^{-24} \text{ g}$ | 陽子の静止質量エネルギー | $m_{ m p}c^2$ | $938~{ m MeV}$ |
| 陽子電子質量比 | m_n/m_e | 1.84×10^{3} | 水素の基底状態エネルギー | $m_{\rm e}c^2(\alpha_{\rm e}^2/2)$ | $13.6~\mathrm{eV}$ |
| 地球質量 | M_{\oplus} | $5.98 \times 10^{27} \text{ g}$ | | =1Ry | $912~{ m \AA}$ |
| 太陽質量 | M_{\odot} | $1.99 \times 10^{33} \text{ g}$ | | | |
| 銀河系質量 | $M_{ m gal}$ | $\sim 2 \times 10^{11} M_{\odot}$ | $E\lambda = 12.39842~\mathrm{keV}~\mathrm{\mathring{A}}$ | | |
| 宇宙の質量 | $M_{ m U}$ | $10^{54} - 10^{56} \text{ g}$ | $\hbar c = 1.973 \text{ keV Å} = 197.3 \text{ MeV fm}$ | ı | |

 $1 \text{ J} = 1 \times 10^7 \text{ ergs}, 1 \text{ cal} = 4.19 \text{ J}$

| | eV | - 0 | cm^{-1} | Hz | K |
|----------------------|------------------------|------------------------|------------------------|-----------------------|------------------------|
| eV | 1 | 1.60×10^{-12} | 8.07×10^{3} | 2.42×10^{14} | 1.16×10^4 |
| erg | 6.24×10^{11} | 1 | 5.03×10^{15} | 1.51×10^{26} | 7.24×10^{15} |
| ${ m cm}^{-1}$ | 1.24×10^{-4} | 1.99×10^{-16} | 1 | 3.00×10^{10} | 1.44 |
| ${ m Hz}$ | 4.14×10^{-15} | 6.63×10^{-27} | 3.34×10^{-11} | 1 | 4.80×10^{-11} |
| K | 8.62×10^{-5} | 1.38×10^{-16} | 6.95×10^{-1} | 2.08×10^{10} | 1 |

 $(\hbar c/G)^{1/2}$ 2.18 × 10⁻⁵ g

輻射 1.5

プランク質量

 $a = \pi^2 k^4 / 15c^3 \hbar^3$ 7.57 × 10⁻¹⁵ erg cm⁻³ K⁻⁴ 黒体放射の輻射密度定数 $5.67\times10^{-5}~{\rm erg}~{\rm cm}^{-2}~{\rm K}^{-4}~{\rm s}^{-1}$ $\sigma_{\rm sb} = ac/4$ シュテファン-ボルツマン定数 $0.290~\rm cm~K$ 黒体放射の最大強度波長 $T\lambda_{\max}$ $L_{\rm x} = 4\pi R^2 \sigma_{\rm sb} T^4 = 1.045 \times 10^{35} (R/10 \text{ km})^2 (kT/0.3 \text{ keV})^4 \text{ erg s}^{-1}$ 黒体放射の光度 $3.8 \times 10^{33} \text{ erg s}^{-1} = 3.8 \times 10^{26} \text{ W}$ 太陽光度 絶対輻射等級 $M_{\rm bol} = 4.75 - 2.5 \log (L/L_{\odot})$ $3.0 \times 10^{35} \text{ erg s}^{-1}$ 絶対輻射等級 0 等星の輻射 $2.5 \times 10^{-5} \text{ erg cm}^{-2} \text{ s}^{-1}$ 輻射等級 0 等星の明るさ $m=M+5\log(D/\mathrm{pc})-5+$ 空間吸収の大きさ 見かけの等級 $L_{\rm x} = 4\pi d^2 F_{\rm x} = 1.200 \times 10^{32} (d/1 \text{ kpc})^2 (F_{\rm x}/10^{-12} \text{ erg s cm}^{-2}) \text{ erg s}^{-1}$ X線光度 $L_{\rm Edd} \sim 1.3 \times 10^{38} (M/M_{\odot}) \ {\rm erg \ s^{-1}}$ エディントン光度 スピンダウン光度 $L_{\rm sd} = 3.94 \times 10^{35} \text{ erg s}^{-1} (P/1 \text{ s})^{-3} (\dot{P}/10^{-11} \text{ s s}^{-1}) \text{ (at } I = 10^{45} \text{ g cm}^2)$ $\sim 2.3 \times 10^{-8} \text{ erg s cm}^{-2} \text{ (2-10 keV)}$ かに星雲のX線強度 1 Crab

1.6 磁場

 $B_{\rm cr} = m_e^2 c^3/\hbar e$ $4.414 \times 10^{13} \text{ G}$ 量子電磁力学の臨界磁場 $B_{\rm d} = (3c^3 IP\dot{P}/2\pi^2 R_{\rm ns}^6)^{1/2}$ $1.0 \times 10^{14} (P/1 \text{ s})^{1/2} (\dot{P}/10^{-11} \text{ s s}^{-1})^{1/2} \text{ G}$ パルサーの表面磁場強度 $11.6(B/10^{12} \text{ G}) \text{ keV}$ 電子サイクロトロン共鳴 $E_{\rm cvc} = m_e c^2 (1 + B/B_{\rm cr})$ 磁気エネルギー密度 $U_{\rm mag} = B^2/8\pi \; ({\rm CGS})$ $3.98 \times 10^{-2} (B/1 \text{ G})^2 \text{ erg cm}^{-3}$ (1T=10⁴ G)

1.7 宇宙論

 $100h~{\rm km~s^{-1}~Mpc^{-1}} = 3.2h \times 10^{-18}~{\rm s^{-1}}~(h \sim 0.70)$ ハッブル定数 H_0 $3000h^{-1} \text{ Mpc} = 9.26 \times 10^{27}h^{-1} \text{ cm}$ ハッブル距離 c/H_0 $1.9 \times 10^{-29} h^2 \text{ g cm}^{-3} = 2.8 \times 10^{11} h^2 M_{\odot} \text{ Mpc}^{-3}$ $\rho_c = (3H_0^2)/(8\pi G)$ 臨界密度 $4.0 \times 10^{-13} \left[T_{r0} / 2.7 \text{K} \right]^4 \text{ erg cm}^{-3}$ 宇宙黒体輻射密度 $\rho_{r0} = aT_{r0}^4$ $4.0 \times 10^2 \left[T_{r0} / 2.7 \text{K} \right]^3 \text{ cm}^{-3}$ 宇宙黒体輻射光子数密度 n_{r0} $3.3 \times 10^{-4} h(d/\text{Mpc})$ (z < 0.05) 宇宙論的赤方偏移(近傍) $z \sim (H_0/c)d$ $E' = \gamma(1-\beta)E = \{(1-\beta)/(1+\beta)\}^{1/2}E$ 運動学的赤方偏移 $1 + z = \sqrt{(1+\beta)/(1-\beta)}$ 重力赤方偏移 $1 + z = (1 - R_{\rm s}/R)^{-1/2}$

1.8 その他

 $[
カ] = [MLT^{-2}], [エネルギー] = [ML^2T^{-2}], [圧力] = [ML^{-1}T^{-2}]$ $1 \text{ g cm}^{-3} = 5.99 \times 10^{23} \text{ proton cm}^{-3} = 5.61 \times 10^{32} \text{ eV cm}^{-3} = 1.48 \times 10^{40} M_{\odot} \text{ Mpc}^{-3}$ $1 \text{ Jy} = 10^{-23} \text{ erg cm}^{-2} \text{ s}^{-1} \text{ Hz}^{-1} = 10^{-26} \text{ J m}^{-2} \text{ s}^{-1} \text{ Hz}^{-1}$ $760 \text{ torr} = 1.013 \times 10^6 \text{ dyn cm}^{-2} = 1 \text{ atmos} = 1.013 \text{ bars} = 1.013 \times 10^5 \text{ Nm}^{-2}$ (Pa) 1 radian =57.296 degrees, 1 arcsec = 4.848×10^{-6} radians, 1 sr \sim 3282.806 degrees² 天体の赤経と赤緯を (α, δ) として、人工衛星のオイラー角は $(\alpha, 90^{\circ} - \delta, 90^{\circ} - [\text{ロール角}])$

2 中性原子や高階電離イオンからの代表的な輝線

Table 1: 中性原子、ヘリウム様イオン、水素様イオンの輝線エネルギーと K 殻束縛エネルギー (単位 eV)

| Neutral a | tom | | ρ | | Fluorescence | | | | | |
|---------------------|--------------|---|----------------------------------|-------------|--------------|-------------|-------------|-------------|-------------------|-------------|
| Element | \mathbf{Z} | | $(\mathrm{g}\ \mathrm{cm}^{-3})$ | $K\alpha_1$ | $K\alpha_2$ | $K\beta_1$ | $L\alpha_1$ | $L\alpha_2$ | $\mathrm{L}eta_1$ | K-edge |
| С | 6 | $1s^2 2s^2 2p^2$ | 2.27 | 277. | | | | | | 284.2 |
| N | 7 | $1s^22s^22p^3$ | 1.25 | 392.4 | | | | | | 409.9 |
| O | 8 | $1s^22s^22p^4$ | 1.42 | 524.9 | | | | | | 543.1 |
| Ne | 10 | $1s^2 2s^2 2p^6$ | 0.90 | 848.6 | 848.6 | | | | | 870.2 |
| Na | 11 | $[\mathrm{Ne}]3\mathrm{s}^1$ | 0.97 | 1,040.9 | 1,040.9 | 1,071.1 | | | | 1,070.8 |
| Mg | 12 | $[\mathrm{Ne}]3\mathrm{s}^2$ | 1.74 | 1,253.6 | $1,\!253.6$ | 1,302.2 | | | | 1,303.0 |
| Al | 13 | $[\mathrm{Ne}]3\mathrm{s}^23\mathrm{p}^1$ | 2.70 | 1,486.7 | 1,486.2 | 1,557.4 | | | | $1,\!559.6$ |
| Si | 14 | $[\mathrm{Ne}]3\mathrm{s}^23\mathrm{p}^2$ | 2.33 | 1,739.9 | 1,739.3 | 1,835.9 | | | | 1,839. |
| \mathbf{S} | 16 | $[\mathrm{Ne}]3\mathrm{s}^23\mathrm{p}^4$ | 2.09 | 2,307.8 | 2,306.6 | 2,464.0 | | | | 2,472. |
| Ar | 18 | $[\mathrm{Ne}]3\mathrm{s}^23\mathrm{p}^6$ | 1.78 | 2,957.7 | 2,955.6 | $3,\!190.5$ | | | | $3,\!205.9$ |
| Ca | 20 | $[Ar]4s^2$ | 1.53 | 3,691.6 | 3,688.0 | 4,012.7 | 341.3 | 341.3 | 344.9 | 4,038.5 |
| Fe | 26 | $[Ar]3d^64s^2$ | 7.87 | 6,403.8 | 6,390.8 | 7,057.9 | 705.0 | 705.0 | 718.5 | 7,112. |
| Ni | 28 | $[Ar]3d^84s^2$ | 8.91 | 7,478.1 | 7,460.8 | 8,264.6 | 851.5 | 851.5 | 868.8 | 8,333. |

| | | | He-like | | | | | H-like | | |
|---------------------|---------|-------------|-------------|-------------|--------------|--------------|--------------|-------------|--------------------|-------------|
| Ion | F or z | I1 or y | I2 or x | R or w | K-edge | $Ly\alpha_2$ | $Ly\alpha_1$ | $Ly\beta_2$ | $\text{Ly}\beta_1$ | K-edge |
| С | 298.9 | 304.4 | 304.4 | 307.9 | 392.0 | 367.4 | 367.5 | 435.5 | 435.5 | 489.9 |
| N | 419.8 | 426.3 | 426.3 | 430.7 | 552.0 | 500.2 | 500.3 | 592.9 | 592.9 | 667.0 |
| O | 560.9 | 568.5 | 568.6 | 573.9 | 739.3 | 653.4 | 653.6 | 774.5 | 774.6 | 871.4 |
| Ne | 905.0 | 914.8 | 915.0 | 922.0 | 1,195.8 | 1,021.5 | 1,021.9 | 1,210.8 | $1,\!210.9$ | $1,\!362.1$ |
| Na | 1,107.8 | 1,118.7 | 1,119.0 | $1,\!126.8$ | 1,465.1 | 1,236.3 | $1,\!236.9$ | $1,\!465.4$ | $1,\!465.6$ | 1,648.7 |
| Mg | 1,331.1 | 1,343.1 | 1,343.5 | $1,\!352.2$ | 1,761.8 | 1,471.6 | $1,\!472.6$ | 1,744.5 | 1,744.8 | 1,962.6 |
| Al | 1,574.9 | 1,588.1 | $1,\!588.7$ | $1,\!598.2$ | $2,\!085.9$ | 1,727.6 | 1,728.9 | 2,048.0 | 2,048.4 | $2,\!304.1$ |
| Si | 1,839.4 | $1,\!853.7$ | 1,854.6 | 1,864.9 | $2,\!437.6$ | 2,004.3 | 2,006.0 | $2,\!376.1$ | $2,\!376.6$ | $2,\!673.1$ |
| \mathbf{S} | 2,430.3 | 2,447.1 | $2,\!448.7$ | $2,\!460.6$ | $3,\!223.7$ | 2,619.7 | 2,622.7 | 3,105.8 | $3,\!106.7$ | $3,\!494.1$ |
| Ar | 3,104.1 | $3,\!123.5$ | $3,\!126.2$ | $3,\!139.5$ | 4,120.6 | 3,318.1 | $3,\!322.9$ | 3,934.2 | 3,935.7 | $4,\!426.2$ |
| Ca | 3,861.1 | 3,883.3 | $3,\!887.7$ | 3,902.2 | $5,\!128.8$ | 4,100.1 | 4,107.5 | $4,\!861.9$ | $4,\!864.1$ | $5,\!469.8$ |
| Fe | 6,636.6 | 6,667.5 | $6,\!682.3$ | 6,700.4 | 8,828.1 | 6,951.9 | 6,973.1 | 8,246.3 | $8,\!252.6$ | $9,\!277.6$ |
| Ni | 7,731.6 | 7,765.7 | 7,786.4 | $7,\!805.5$ | $10,\!288.8$ | 8,073.1 | 8,101.7 | $9,\!577.5$ | $9,\!586.0$ | 10,775.3 |

X-ray Data Booklet (http://xdb.lbl.gov) are used for line and K-edge (ionization) energies of neutral elements, NIST Atomic Spectra Database version 5.6 (https://www.nist.gov/pml/atomic-spectra-database) for K-edge (ionization) energies of Helike and H-like ions, and AtomDB v3.0.9 http://www.atomdb.org for emission line energies of He-like and H-like ions. The energies are shown to one place of decimal without rounding values. Note: Inner shell lines are denoted by $K\alpha$ (n=1 to 2), $K\beta$ (n=1 to 3) for Li-like or higher ions, but called Ly α and Ly β for He-like and H-like ions.

Table 2: An incomplete list of astrophysically important X-ray spectral features (keV)

| | Energy | | Energy | | Energy | | Energy |
|------------|--------|----------------|--------|-------------------|--------|-------------------|--------|
| Ne VII | 0.127 | O VII | 0.574 | Fe XX | 0.996 | Fe I K α_1 | 6.404 |
| Si XI | 0.283 | O VIII | 0.654 | Ne X | 1.022 | Fe XXV | 6.64 |
| C I K edge | 0.284 | O VII | 0.666 | Mg I K edge | 1.305 | Fe XXV | 6.68 |
| Si XII | 0.303 | O VII | 0.698 | Mg XI | 1.340 | Fe XXV | 6.70 |
| C V | 0.308 | Fe I LIII edge | 0.707 | Mg XI | 1.352 | Fe XXVI | 6.93 |
| N I K edge | 0.402 | Fe I LII edge | 0.721 | Si K edge | 1.839 | Fe I K β | 7.058 |
| N VI | 0.431 | Fe XVII | 0.826 | Si XIII | 1.86 | Fe I Kedge | 7.111 |
| N VII | 0.500 | Ne I K edge | 0.867 | S I K edge | 2.472 | | |
| O I K edge | 0.532 | Ne IX | 0.915 | Ar I K edge | 3.203 | | |
| O VII | 0.569 | Ne IX | 0.922 | Fe I K α_2 | 6.391 | | |

M.V. Zombeck "Handbook of Space Astronomy and Astrophysics", Third Edition, Cambridge University Press, pp.28 http://ads.harvard.edu/books/hsaa/

3 原子核からの代表的な輝線

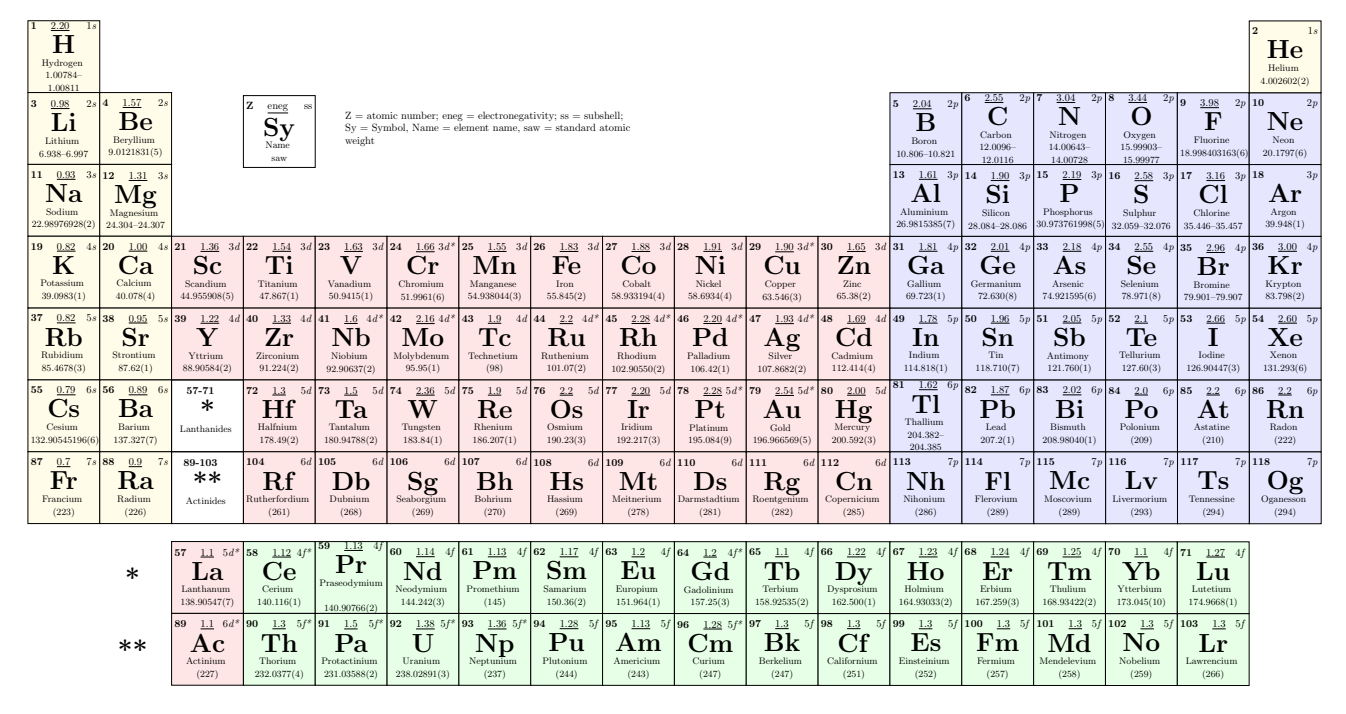
Table 3: 放射線源 (較正用、環境放射線) からのガンマ線

| | Decay | Half-life | Energy | I_g | | | Decay | Half-life | Energy | I_g |
|----------------------|--------------|------------------------------|---------|-------|----------|---------------------|------------------|--------------------|---------|-------|
| | | $T_{1/2}$ | (keV) | (%) | | | | $T_{1/2}$ | (keV) | (%) |
| ^{-22}Na | EC/β^+ | 2.6019 y | 511. | 181.4 | | $^{152}\mathrm{Eu}$ | EC/β^- | 13.53 y | 121.78 | 28.58 |
| | | | 1274.5 | 99.94 | | | | | 244.69 | 7.58 |
| $^{40}{ m K}$ | EC/β^+ | $1.27 \times 10^9 \text{ y}$ | 1460.83 | 11 | | | | | 344.27 | 26.5 |
| 55 Fe | EC | 2.73 y | 5.888 | 8.5 | | | | | 778.90 | 12.94 |
| | | | 5.899 | 16.9 | | | | | 867.37 | 4.24 |
| | | | 6.490 | 2.99 | | | | | 964.07 | 14.60 |
| $^{57}\mathrm{Co}$ | EC | 271.79 d | 14.41 | 9.16 | | | | | 1085.86 | 10.20 |
| | | | 122.06 | 85.60 | | | | | 1112.07 | 13.64 |
| | | | 136.47 | 10.68 | | | | | 1408.00 | 21.00 |
| $^{60}\mathrm{Co}$ | β^- | $5.27 \mathrm{\ y}$ | 1173.23 | 99.97 | | $^{241}\mathrm{Am}$ | α | $432.2~\mathrm{y}$ | 59.54 | 35.9 |
| | | | 1332.50 | 99.98 | | $^{214}\mathrm{Bi}$ | α/β^- | $19.9~\mathrm{m}$ | 609.31 | 46.1 |
| ^{88}Y | EC/β^+ | $106.65 \ d$ | 898.04 | 93.7 | | | | | 768.35 | 4.94 |
| | | | 1836.06 | 99.2 | | | | | 934.06 | 3.03 |
| $^{133}\mathrm{Ba}$ | EC | 10.51 y | 53.16 | 2.19 | | | | | 1120.28 | 15.1 |
| | | | 79.61 | 2.62 | | | | | 1238.11 | 5.79 |
| | | | 80.99 | 34.06 | | | | | 1764.49 | 15.4 |
| | | | 276.39 | 7.16 | | $^{208}\mathrm{Tl}$ | β^- | $3.05~\mathrm{m}$ | 277.35 | 6.31 |
| | | | 302.85 | 18.33 | | | | | 510.77 | 22.6 |
| | | | 356.01 | 62.05 | | | | | 583.19 | 84.5 |
| | | | 383.85 | 8.94 | | | | | 860.56 | 12.42 |
| $^{-137}\mathrm{Cs}$ | β^- | 30.07 y | 661.65 | 85.1 | <u> </u> | | | | 2614.53 | 99 |

Data from the Lund/LBNL Nuclear Data Search Version 2.0 (1999) http://nucleardata.nuclear.lu.se/toi/, shown for $I_g \gtrsim 5\%$. Lines from ⁵⁵Fe are Mn K α 2 (5.888 keV), Mn K α 1 (5.899 keV), and Mn K β 1+Mn K β 3 (6.490 keV).

4 周期表

Periodic Table of the Elements



Standard atomic weights taken from the Commission on Isotopic Abundances and Atomic Weights (ciaaw.org/atomic-weights.htm). Adapted from Ivan Griffin's I/TEX Periodic Table. © 2017 Paul Daness

An asterisk (*) next to a subshell indicates an anomalous (Aufbau rule-breaking) ground state electron configuration

5 天文学の便利な TIPS

5.1 覚えておきたい数値

```
(距離)
```

 $pc \approx 3 \times 10^{18}~cm$

 $AU \approx 500 \text{ light-seconds}$

 $R_{\rm earth} \approx R_{\rm jupiter}/10 \approx R_{\odot}/100$

 $2GM_{\odot}/c^2 \approx 3 \text{ km}$

(質量とエネルギー)

 $m_{\rm p} \sim m_{\rm n} \sim 940~{\rm MeV} \approx 1~{\rm GeV}$

 $m_{\rm e} \approx 0.511~{\rm MeV/c^2} \approx m_{\rm p}/2000$

 $\hbar c \approx 2000 \text{ eV Å}$

 $\alpha = e^2/(\hbar c)$ [ガウス単位系] $\approx 1/137$ ($\hbar c$ と微細構造定数 α から基本パラメータを導出できる)

 $1~\textrm{Å}{\rightarrow}~12.4~\textrm{keV}$

 $1 \text{ eV} \approx 1.6 \times 10^{-12} \text{ erg} \rightarrow 1,200 \text{ nm} \rightarrow 240 \text{ THz} \rightarrow 10^4 \text{ K}$

(天文学では依然として CGS 単位系に揃えると便利なことも多い)

ボルツマン定数 $k \sim 1.38 \times 10^{-16} \text{ erg/K}$

ステファン-ボルツマン定数 $\sigma \sim 1.03 \times 10^{24} \ \mathrm{erg/s/cm^2/keV^4}$

典型的な星間密度 $\approx 1 \text{ Hydogen atom/cm}^3$

距離 d までの水素柱密度 (hydrogen column density) $N_{\rm H} \approx 3 \times 10^{21} (d/{\rm kpc})~{\rm cm}^{-2}$

5.2 便利な近似

桁で議論する封筒の裏の精度である [確認が必要, 2022-04-21]

year $\approx 3.15 \times 10^7$ seconds $\approx \pi \cdot 10^7$ seconds

 $km/s \approx pc/Myr$

 $G \approx 40 \text{ AU}^3/(M_{\text{sun year}^2})$

1" $\approx 5 \,\mu \text{rad}$

sphere $\approx 60^6/(100\pi) \text{ arcmin}^2$